

## CH<sub>4</sub>로 환원된 페라이트를 이용한 CO<sub>2</sub> 분해

신현창 · 정광덕\* · 주오심\* · 한성환\*\* · 김종원\*\*\* · 최승철†

아주대학교 재료공학과

\*한국과학기술연구원 나노환경연구센터

\*\*한양대학교 화학과

\*\*\*한국에너지기술연구원 수소에너지연구센터

(2002년 4월 19일 접수; 2002년 6월 5일 승인)

### Decomposition of CO<sub>2</sub> with Reduced Ferrite by CH<sub>4</sub>

Hyun Chang Shin, Kwang Deog Jung\*, Oh Sim Joo\*, Sung Hwan Han\*\*,  
Jong Won Kim\*\*\* and Seung Chul Choi†

Department of Materials Science and Engineering, Ajou University, Suwon 442-749, Korea

\*Eco-nano Research Center, Korea Institute Science and Technology, Seoul 136-791, Korea

\*\*Department of Chemistry, Hanyang University, Seoul 133-791, Korea

\*\*\*Hydrogen Research Center, Korea Institute of Energy Research, Taejeon 305-343, Korea

(Received April 19, 2002; Accepted June 5, 2002)

### 초 록

페라이트를 이용한 CO<sub>2</sub> 분해 반응에서 부분 산화로 CO와 H<sub>2</sub>의 제조가 가능한 CH<sub>4</sub>를 사용하여 CuFe<sub>2</sub>O<sub>4</sub>와 NiFe<sub>2</sub>O<sub>4</sub>를 환원시킨 후, 환원된 페라이트를 이용하여 CO<sub>2</sub> 분해 반응 연구를 진행하였다. CH<sub>4</sub>와 페라이트의 환원 반응에서, 700°C부터 H<sub>2</sub>와 CO가 생성되었으며, 800°C까지의 반응에서 페라이트는 산소부족형 철산화물(FeO<sub>1.8</sub>(0≤δ≤1))과 금속 Cu와 Ni의 혼합물 상태로 환원되었다. 환원된 페라이트를 이용한 CO<sub>2</sub> 분해 반응에서, 환원된 CuFe<sub>2</sub>O<sub>4</sub>는 환원된 NiFe<sub>2</sub>O<sub>4</sub> 보다 높은 반응성을 나타내면서 더 많은 양의 CO<sub>2</sub>를 분해하였다. 이 반응에서 CO<sub>2</sub> 분해는 산소부족형 철산화물의 산화에 의해서만 일어났고, 치환된 2가 양이온은 산화되지 않은 금속 상태로 존재하였다. 이와 같은 결과를 통하여 CH<sub>4</sub>를 이용하여 페라이트를 환원시킨 후, CO<sub>2</sub>를 분해하는 공정은 H<sub>2</sub>와 CO 같은 유용한 가스 제조는 물론 이를 이용하여 CO<sub>2</sub>도 분해할 수 있는 활용가치가 매우 높은 공정으로 평가된다.

### ABSTRACT

The reduced ferrites, reduced NiFe<sub>2</sub>O<sub>4</sub> and CuFe<sub>2</sub>O<sub>4</sub>, by CH<sub>4</sub> were applied to CO<sub>2</sub> decomposition to avoid the greenhouse effects. At the reduction reaction above 700°C, H<sub>2</sub> and CO were generated by partial oxidation of CH<sub>4</sub>. After the reduction reaction up to 800°C, the spinel structure ferrites changed to mixture of the oxygen deficient iron oxide (FeO<sub>1.8</sub>, 0≤δ≤1) and the metallic Ni or Cu. The rate and quantity of CO<sub>2</sub> decomposition with reduced CuFe<sub>2</sub>O<sub>4</sub> were larger than those with reduced NiFe<sub>2</sub>O<sub>4</sub>. The CO<sub>2</sub> gas was decomposed by oxidation of the oxygen deficient iron oxide. The metallic Cu and Ni were not oxidized and remained in a metallic state up to 800°C. The CO<sub>2</sub> decomposition reaction with the reduced ferrite by CH<sub>4</sub> gas is excellent process preparing useful gas such as H<sub>2</sub> and CO and decomposing CO<sub>2</sub> gas.

**Key words :** Reduced ferrite, CO<sub>2</sub> decomposition, Partial oxidation

### 1. 서 론

급격한 산업화로 인한 화석연료의 사용 증가로 인하여 CO<sub>2</sub>가 대량으로 방출되고 있다. 그러나, CO<sub>2</sub>는 지구온난화의 주요 원인이기 때문에 CO<sub>2</sub> 방출 감소 및 분해 기술

의 개발이 필수적이다. 이를 위하여 여러 가지 방법들이 연구되어지고 있는데, 그 중 철을 이용하여 CO<sub>2</sub>를 분해 하려는 연구가 진행되고 있다. Sacco와 Reid는 철촉매를 사용하여 처음으로 CO<sub>2</sub>를 분해하는 연구를 행하였다.<sup>1)</sup> Y. Tamaura 등은 H<sub>2</sub>에 의해 환원된 산소부족형 Magnetite가 CO<sub>2</sub> 분해에 높은 반응성을 가진다는 연구를 보고하였고,<sup>2,3)</sup> 이후 Magnetite의 Fe<sup>2+</sup> 대신 2가 전이금속 치환 및 페라이트 미세 분말 제조 등을 통하여 페라이트의 산화-환원 반응의 효율을 증가시키려는 연구가 활발히 진행되었다.<sup>4-12)</sup>

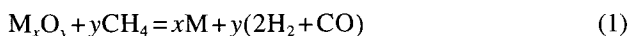
<sup>†</sup>Corresponding author : Seung Chul Choi

E-mail : scchoi@ajou.ac.kr

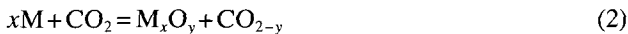
Tel : +82-31-219-2471 Fax : +82-31-219-1610

산소부족형 페라이트를 제조하기 위하여 가장 많이 사용되어진 환원제는  $H_2$ 이다. 그러나, 최근  $H_2$  대신 활성탄을 이용하여 페라이트를 환원시킨 후, 환원된 페라이트를 이용한  $CO_2$  분해 연구가 진행되고 있다.<sup>13-15)</sup> 이 연구는  $H_2$ 를 환원제로 사용할 때보다 높은 온도에서 반응이 진행되지만,  $H_2$  보다 활성탄의 가격이 매우 저렴하며, 약 650°C 이상부터는 유용한 가스인 CO의 농도가 증가하여 유용하게 활용될 수 있다.

본 연구에서는 천연가스의 주요 성분인  $CH_4$ 를 사용하여  $CuFe_2O_4$ 와  $NiFe_2O_4$ 를 환원시킨 후, 이를 이용하여  $CO_2$ 를 분해하는 연구를 행하였다. 이 공정은  $CH_4$ 가 금속 산화물로부터 산소를 공급받아 부분 산화(partial oxidation)되면서 화학 공업적으로 매우 유용하게 사용되어지는 CO와  $H_2$ 의 합성가스(synthesis gas)를 생성하게 된다. 일반적으로 합성가스는  $CH_4$ 와  $H_2O$  또는 공기(Air)를 동시에 공급하여 reforming 반응을 통하여 제조하지만,  $CH_4$ 와 금속 산화물의 반응을 통한 부분 산화 공정은 합성가스 제조는 물론 금속산화물의 환원이라는 두 공정을 동시에 진행할 수 있는 장점을 가지고 있다.  $CH_4$ 를 이용한 금속산화물의 환원 반응은 식(1)과 같이 표현할 수 있다.<sup>16)</sup>



여기서 M은 금속을,  $M_xO_y$ 는 금속산화물을 나타낸다. 이렇게 제조된 금속을  $CO_2$ 와 반응시키면 식(2)와 같이 금속이 산화되면서  $CO_2$ 는 분해된다.



## 2. 실험방법

### 2.1. 페라이트 제조

$CuFe_2O_4$ 와  $NiFe_2O_4$  분말은 공침법으로 제조하였다.  $CuCl_2$ 와  $NiCl_2$ ,  $FeCl_3$ (first grade, Kanto Co., Japan)를 출발 원료로 하여 스피넬 구조의 조성에 맞게 정량한 후, 증류수에 용해시켜 각각의 수용액을 제조하였다. 공침제로는 2.5 M KOH 수용액을 사용하여 pH 10을 유지하면서 80°C에서 5시간 동안 반응을 시켰다. 제조된 각각의 공침물을 증류수로 충분히 세척한 후, 여과하여 80°C에서 12시간 건조하였다. 건조된 각각의 분말은 900°C에서 2시간 동안 하소한 후, XRD(McScience M18SHF-SRA, Japan) 분석을 통하여 결정구조를 관찰하였다.

### 2.2. 페라이트의 환원과 $CO_2$ 분해

$CO_2$  분해를 위한 페라이트의 산화-환원 반응은  $H_2O$  분해 때 사용되었던 실험 장비와 같은 장비를 이용하여 실험을 진행하였다.<sup>17)</sup> 페라이트를 환원시키기 위하여 페라이트 분말 50 mg을 Pt 도가니에 넣어 quartz tube(1 in

O.D.)에 장입하고,  $CH_4$ 를 60 ml/min의 속도로 일정하게 주입키면서 환원분위기를 만들었다. 온도는 할로겐 램프로를 이용하여 상온부터 800°C까지 10°C/min의 승온 속도로 가열하였으며, 환원 반응 후  $CH_4$ 를 계속 주입하면서 5분 내에 상온까지 온도를 냉각하였다. 이때, 환원반응 중 온도에 따른 무게변화는 열분석기(TGA, CAHN 2000 Electrobalance, USA)로 분석하였으며, 가스의 농도변화는 Mass spectrometer(BALZERS MSC 200, USA)를 이용하여 분석하였다. 환원반응 후, 페라이트 분말의 결정상 변화를 XRD로 관찰하였다.

$CH_4$ 에 의해 환원된 페라이트가 들어있는 quartz tube에  $CO_2$ 를 60 ml/min의 속도로 일정하게 흘려보내면서 산화분위기를 만들었다. 할로겐 램프로를 이용하여 상온에서 800°C까지 10°C/min의 속도로 가열하였으며, 환원된 페라이트와  $CO_2$ 의 반응에 의한 무게변화를 열분석기로 관찰하였다. 또한,  $CO_2$  분해시 발생하는 CO의 농도 변화를 Mass spectrometer로 관찰하였으며, XRD로 결정상의 변화를 관찰하였다.

## 3. 결과 및 고찰

### 3.1. $CH_4$ 에 의한 페라이트의 환원 반응

스피넬 구조의  $CuFe_2O_4$ 와  $NiFe_2O_4$  분말을  $CH_4$ 로 환원시켰을 때 나타나는 온도에 따른 무게 변화는 Fig. 1과 같다.  $CuFe_2O_4$ 는 명확한 두 단계의 반응을 보이면서 무게가 감소하는 반면,  $NiFe_2O_4$ 는 단일 반응으로 무게가 감소하는 것을 관찰할 수 있었다.  $CuFe_2O_4$ 의 첫 번째 환원반응은 350°C부터 시작하여 530°C까지 8 wt%의 무게가 감소하였다. 8 wt%는  $CuFe_2O_4$ 의 4개의 산소 중 1.2개에

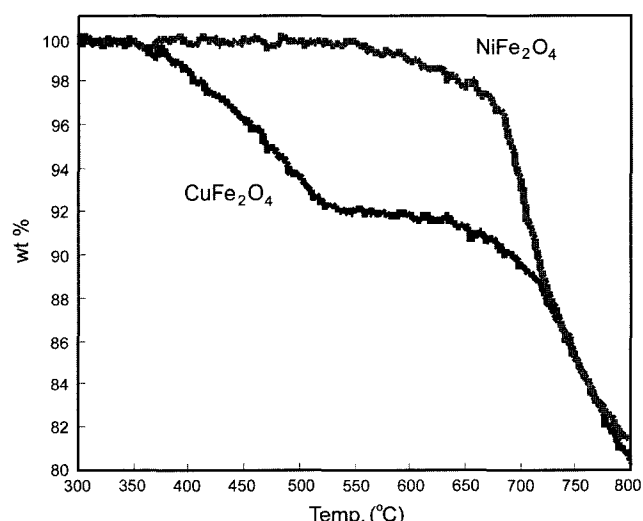
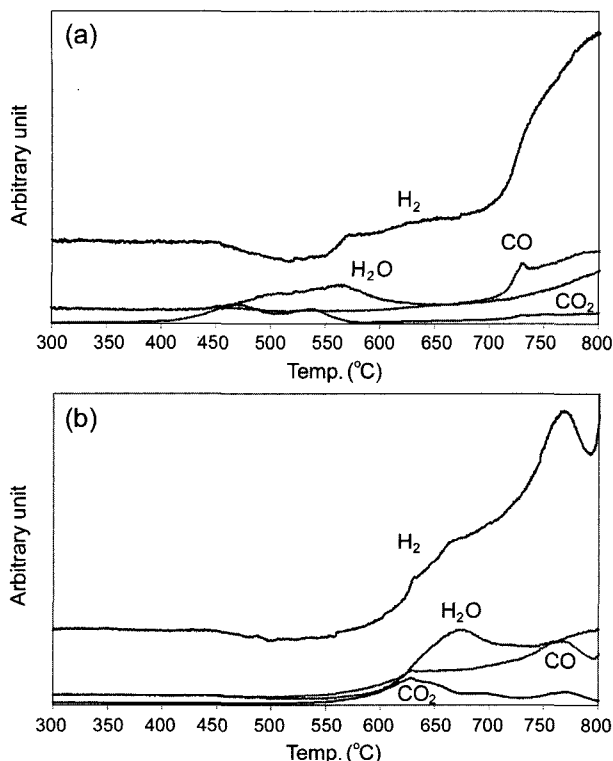


Fig. 1. TGA curves of  $CuFe_2O_4$  and  $NiFe_2O_4$  while heating to 800°C under  $CH_4$  gas atmosphere.

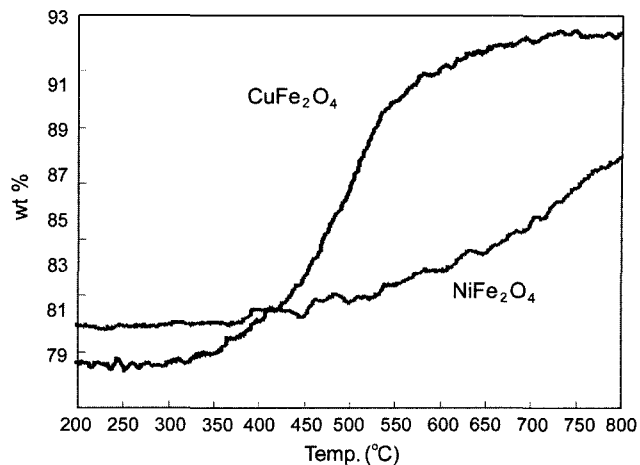


**Fig. 2.** Variation of reaction gas concentration for reduction of ferrites to 700°C under CH<sub>4</sub> gas atmosphere.  
(a) CuFe<sub>2</sub>O<sub>4</sub>, (b) NiFe<sub>2</sub>O<sub>4</sub>.

해당하는 무게이다. CuFe<sub>2</sub>O<sub>4</sub>의 두 번째 환원반응은 630°C부터 진행되었으며, 700°C부터 급격히 무게가 감소하여 800°C까지 전체무게의 19.5 wt%가 감소되었다. 이 무게는 전체 산소 무게의 72%에 해당하는 양으로 4개의 산소 중 약 3개의 산소가 CH<sub>4</sub>와 반응한 것이 된다.

CH<sub>4</sub>에 의한 NiFe<sub>2</sub>O<sub>4</sub>의 환원반응은 CuFe<sub>2</sub>O<sub>4</sub> 보다 190°C 더 높은 540°C부터 시작되어 단일 반응으로 환원이 진행되었다. NiFe<sub>2</sub>O<sub>4</sub>는 CuFe<sub>2</sub>O<sub>4</sub>에서 관찰된 것과 같이 700°C부터 급격한 무게 감소가 진행되었으며, 800°C까지 전체 무게의 18.5 wt%가 감소하였다.

페라이트와 CH<sub>4</sub>와의 환원반응에 의한 생성 가스의 농도변화를 Fig. 2에 나타내었다. 700°C 이하의 낮은 온도에서는 CuFe<sub>2</sub>O<sub>4</sub>와 NiFe<sub>2</sub>O<sub>4</sub>가 CH<sub>4</sub>와 반응하여 H<sub>2</sub>O와 CO<sub>2</sub>가 생성되는 것이 관찰되었다. 그러나, 700°C 이상의 온도에서는 식(1)과 같은 반응이 진행되어, H<sub>2</sub>가 급격히 증가하며, CO도 증가하는 것이 관찰되었다. 700°C 이상의 환원반응에서 페라이트 무게가 급격하게 감소하는 이유는 급격히 진행되는 환원반응과 이 반응을 통하여 생성된 H<sub>2</sub>와 CO 중 일부가 페라이트 격자 내의 산소와 반응하여 페라이트를 환원시키기 때문으로 사료된다.<sup>17)</sup> 이 반응으로 인하여 감소되었던 CO<sub>2</sub>와 H<sub>2</sub>O 농도가 약간 증가되는 것이 관찰되었다.



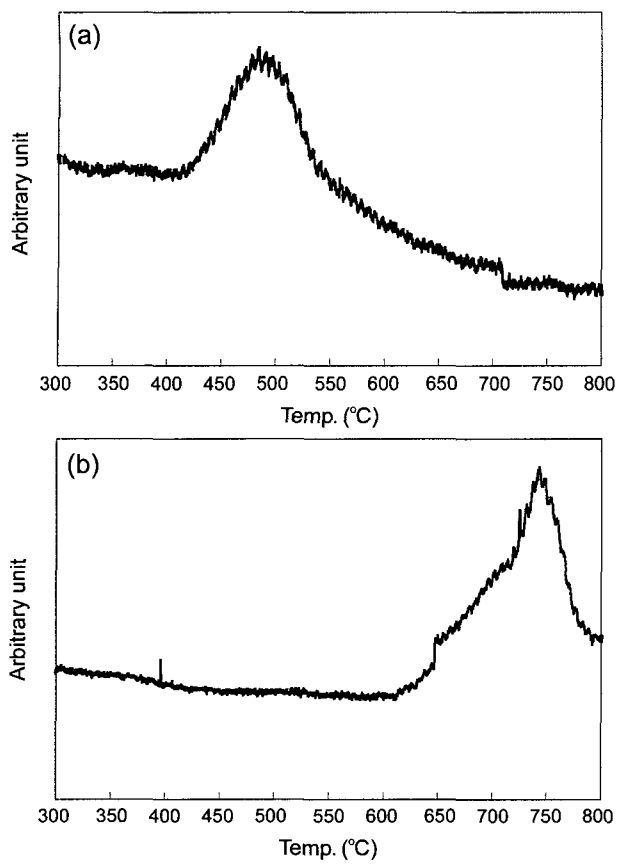
**Fig. 3.** TGA curves of CuFe<sub>2</sub>O<sub>4</sub> and NiFe<sub>2</sub>O<sub>4</sub> for CO<sub>2</sub> decomposition.

### 3.2. 환원된 페라이트를 이용한 CO<sub>2</sub> 분해

환원된 페라이트는 CO<sub>2</sub>와의 반응에서 식(2)와 같이 CO<sub>2</sub>로부터 산소를 받아 산화되면서 무게가 증가하고, CO<sub>2</sub>는 분해된다. 이 반응을 이용하여 CH<sub>4</sub>에 의해 환원된 페라이트를 이용한 CO<sub>2</sub> 분해 반응에서 온도에 따른 페라이트의 무게 변화를 Fig. 3에 나타내었다. 환원된 CuFe<sub>2</sub>O<sub>4</sub>는 300°C부터 CO<sub>2</sub>와 반응하여 무게가 증가하기 시작하였으며, 400°C부터 550°C까지 급격한 무게증가가 나타났다. 이후, CO<sub>2</sub> 분해 반응은 천천히 진행되었으며, 800°C까지 11.5 wt%의 CO<sub>2</sub>를 분해하였다. 이 무게는 환원 전 초기 무게의 92 wt%까지 증가한 것으로, 첫 번째 환원반응이 끝났을 때와 같은 무게이다.

그러나, 환원된 NiFe<sub>2</sub>O<sub>4</sub>는 CuFe<sub>2</sub>O<sub>4</sub> 보다 높은 450°C부터 CO<sub>2</sub> 분해 반응이 시작되었으며, 800°C까지 반응이 꾸준히 진행되어 6 wt%의 CO<sub>2</sub>를 분해하였다. 이것은 환원된 CuFe<sub>2</sub>O<sub>4</sub> 보다 적은 양의 CO<sub>2</sub>가 분해된 것으로, CuFe<sub>2</sub>O<sub>4</sub>가 NiFe<sub>2</sub>O<sub>4</sub> 보다 CO<sub>2</sub> 분해반응에서 더 우수한 특성을 가지고 있다는 것을 알 수 있었다.

환원된 페라이트와 CO<sub>2</sub>의 산화반응시 온도에 따른 CO의 농도 변화를 Fig. 4에 나타내었다. CO<sub>2</sub>가 탄소(C)로 완전히 분해되면 페라이트 표면을 덮어 CO<sub>2</sub> 분해 반응을 저해하는 요소로 작용한다. 그러므로, CO<sub>2</sub>가 부분적으로 환원되면서 CO를 많이 생성하는 반응은 페라이트 표면에 탄소의 흡착을 막을 수 있을 뿐만 아니라, 여러 용도로 CO를 활용할 수 있어 매우 유용하다. 환원된 CuFe<sub>2</sub>O<sub>4</sub>의 CO 농도는 무게 증가가 급격하게 일어나는 420°C부터 증가하기 시작하여, 산화반응이 가장 활발히 진행된 500°C에서 가장 높이 나타났다가 점점 줄어드는 경향을 보였다. 이 반응은 반응속도가 급격하게 감소한 550°C부터는 CO가 검출되지 않았다. 환원된 NiFe<sub>2</sub>O<sub>4</sub>는 450°C부터 산화반응에 의해 무게가 증가하나 CO 농도는 반응이

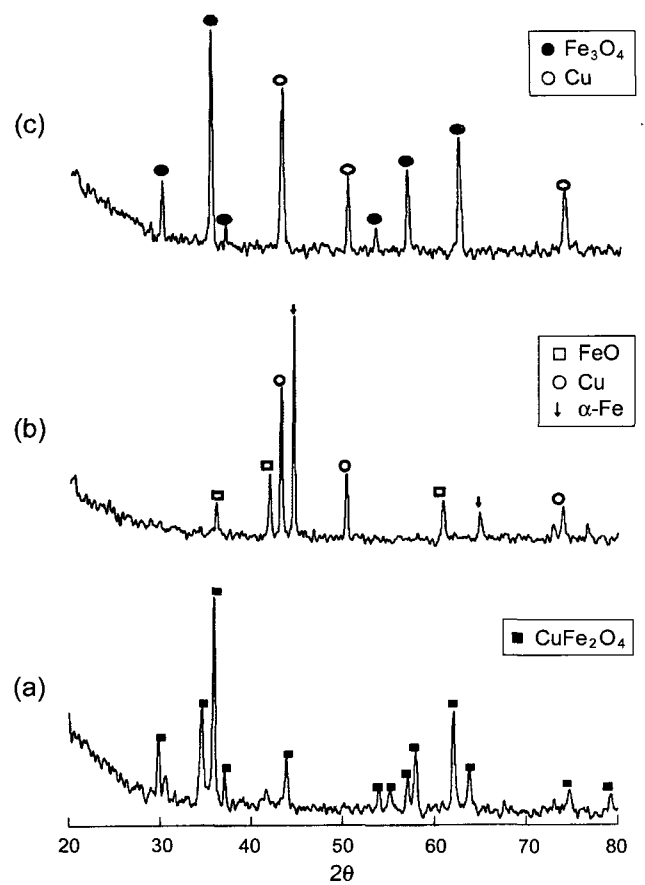


**Fig. 4.** Variation of concentration of CO for  $\text{CO}_2$  decomposition with reduced ferrites. (a)  $\text{CuFe}_2\text{O}_4$  and (b)  $\text{NiFe}_2\text{O}_4$ .

활발히 진행되기 시작한 600°C부터 증가하다가 750°C 이 상부터 급격히 감소하는 것을 관찰할 수 있었다. 이 결과로써 환원된 페라이트를 이용하여  $\text{CO}_2$ 를 분해할 경우 분해반응 속도가 가장 높은 온도에서 CO의 생성이 가장 활발하게 생성되었으며, 환원된  $\text{CuFe}_2\text{O}_4$ 가 환원된  $\text{NiFe}_2\text{O}_4$  보다 더 낮은 온도에서 가장 활발한  $\text{CO}_2$  분해 반응이 일어남을 알 수 있었다.

### 3.3. 환원 · 산화 반응시 페라이트의 구조변화

공침법에 의해 제조된  $\text{CuFe}_2\text{O}_4$  분말의 환원과  $\text{CO}_2$  분해 반응에 따른 결정구조의 변화는 Fig. 5와 같다. 900°C에서 2시간 동안 하소한 결과를  $\text{CuFe}_2\text{O}_4$ 는 스피넬 구조를 형성하고 있는 것이 관찰되었다(Fig. 5(a)).  $\text{CH}_4$ 를 이용하여  $\text{CuFe}_2\text{O}_4$ 를 800°C까지 환원한 결과 스피넬 구조는 사라지고, Cu-페라이트는 Cu 금속과  $\alpha$ -Fe, FeO의 혼합상이 검출되었다. 이것은  $\text{CuFe}_2\text{O}_4$ 의 산소 중 거의 3개가 감소한 것으로 나타난 TGA 결과와 잘 일치한다. 환원된  $\text{CuFe}_2\text{O}_4$ 는  $\text{CO}_2$  분해 반응에서  $\alpha$ -Fe와 FeO가 산화되어  $\text{Fe}_3\text{O}_4$ 로 변한 반면, Cu는 산화되지 않은 금속 상태로 존



**Fig. 5.** XRD patterns of  $\text{CuFe}_2\text{O}_4$ ; (a) calcination, (b) reduction to 900°C and (c)  $\text{H}_2\text{O}$  decomposition to 900°C.

재하고 있는 것이 관찰되었다. Fig. 1에서 나타난  $\text{CO}_2$  분해반응의 TGA 결과 환원 반응전의  $\text{CuFe}_2\text{O}_4$  보다 산소가 약 1.2개 부족한 무게가 관찰되었는데, 이런 현상은 Cu가 산화되지 않고, Fe 산화물도  $\text{Fe}_2\text{O}_3$ 가 아닌  $\text{Fe}_3\text{O}_4$ 까지만 산화반응이 진행되어 발생한 것으로 관찰되었다.

산화-환원 반응시  $\text{NiFe}_2\text{O}_4$ 의 구조변화는 Fig. 6에 나타난 것과 같이  $\text{CuFe}_2\text{O}_4$ 와 비슷한 결정구조의 변화를 보여주고 있다. 900°C에서 2시간 동안 하소하여 제조된  $\text{NiFe}_2\text{O}_4$  분말은 스피넬 구조를 가지고 있지만,  $\text{CH}_4$ 에 의한 환원반응으로 Ni 금속상과 FeO의 혼합상이 검출되었다. TGA 결과(Fig. 1)에서  $\text{NiFe}_2\text{O}_4$ 는 4개의 산소원자 중 약 2.5개가 감소한 것으로, 환원된 결정상에는  $\alpha$ -Fe가 존재하고 있어야만 한다. 그러나, XRD 결과  $\alpha$ -Fe는 검출되지 않고 있다(Fig. 6(b)). 이것은 800°C까지 환원 반응 중 생성된  $\alpha$ -Fe와 Ni는 전율고용체로서 합금화가 이루어 지는데, 이 과정 중에 온도가 급격히 냉각되어 결정상으로 성장할 시간이 불충분하기 때문에 XRD에 검출되지 않은 것으로 사료된다.<sup>18)</sup> 그러므로, 환원 반응시간을 충분히 주면 Ni-Fe 합금이 검출될 것이다.<sup>19)</sup> 환원된  $\text{NiFe}_2\text{O}_4$ 는  $\text{CO}_2$  분해반응 결과  $\text{CuFe}_2\text{O}_4$ 와 같이 Ni 금속과  $\text{Fe}_3\text{O}_4$ 의 혼합상으

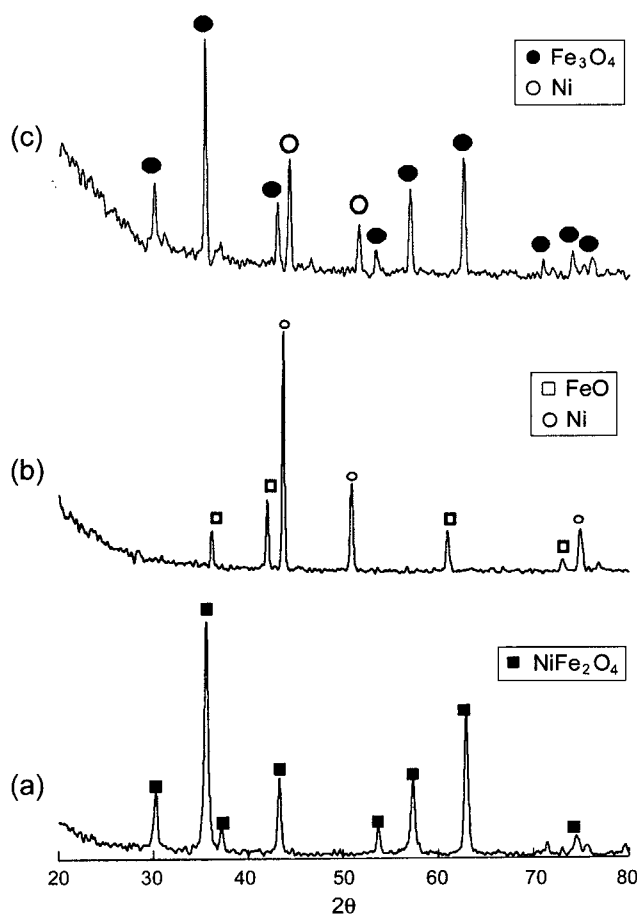
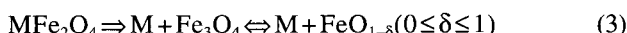


Fig. 6. XRD patterns of NiFe<sub>2</sub>O<sub>4</sub>; (a) calcination, (b) reduction to 900°C and (c) H<sub>2</sub>O decomposition to 900°C.

로 존재하고 있는 것이 관찰되었다. 그러나, TGA 결과 CO<sub>2</sub> 분해 반응 후 무게는 반응전 초기무게 보다 12.5 wt% 가 부족하여 1.7개의 산소가 부족한 상태이다. Ni과 Fe<sub>3</sub>O<sub>4</sub> 는 약 1.2개의 산소가 부족할 때 관찰되므로 CO<sub>2</sub> 분해 반응 후의 Ni-페라이트에는 XRD에서 검출되지 않은 미량의 FeO가 존재하고 있을 것으로 사료된다.

CH<sub>4</sub>에 의해 환원된 페라이트를 이용한 CO<sub>2</sub> 분해 반응의 반응기구는 TGA와 XRD 결과를 통하여 식(3)과 같이 설명될 수 있다.



스피넬 구조를 형성하고 있는 페라이트와 CH<sub>4</sub>를 반응시키면 H<sub>2</sub>O와 CO<sub>2</sub>를 형성하면서 페라이트는 환원반응이 일어난다. 이때, 발생된 환원반응은 치환된 2가 양이온 금속과 결합한 산소에서 먼저 반응이 일어나 Ni이나 Cu는 금속 상태로 존재하고 Fe는 산화물 상태로 존재하게 된다.<sup>19)</sup> 환원반응을 계속 진행시키면 Fe와 결합하고 있는 산소가 CH<sub>4</sub>와 2차 환원반응을 일으켜 산소부족형 철산화물(FeO<sub>1-δ</sub>, 0 ≤ δ ≤ 1)을 형성한다. 이 반응 중 700°C 이상

에서는 부분 산화(partial oxidation) 반응이 일어나 CO와 H<sub>2</sub>가 생성된다. 이렇게 환원된 페라이트를 이용한 CO<sub>2</sub> 분해 반응에서, 산소부족형 철산화물은 Fe<sub>3</sub>O<sub>4</sub>까지 산화되면서 CO<sub>2</sub>를 분해시킨 반면, 치환된 2가 금속양이온은 CO<sub>2</sub> 분해 반응에 의해 산화되지 않고 금속상태로 존재한다. 이 반응에서 같은 결정구조를 가진 CuFe<sub>2</sub>O<sub>4</sub>와 NiFe<sub>2</sub>O<sub>4</sub>는 환원된 양에서는 큰 차이가 없었지만, CO<sub>2</sub> 분해는 CuFe<sub>2</sub>O<sub>4</sub> 가 NiFe<sub>2</sub>O<sub>4</sub> 보다 더 우수한 특성을 가지고 있는 것이 관찰되었다. 이와 같이 산화 반응이 다르게 나타난 이유는 환원반응 때 생성된 Ni과 Cu 금속이 CO<sub>2</sub> 분해 반응에는 참여하지 않으나, 촉매로 작용을 하기 때문에 반응에 차이가 나타나는 것이라 할 수 있다. 일반적으로 Cu과 Ni는 메탄을 합성이나 reforming 반응 등에서 반응을 촉진시키는 촉매로서 많이 사용되어지고 있다. 이 중 Ni은 촉매 반응에서 탄소를 잘 생산하는 물질로 알려져 있다.<sup>20,21)</sup> 그런데, 이 반응은 환원제와 산화제로 사용된 가스가 모두 탄소를 함유하고 있기 때문에 반응중 Ni이 Cu 보다 더 많은 양의 탄소를 생성하게 되고, 반응 가스가 페라이트 표면으로 확산되는 것을 탄소가 막기 때문에 NiFe<sub>2</sub>O<sub>4</sub>의 CO<sub>2</sub> 분해능이 CuFe<sub>2</sub>O<sub>4</sub> 보다 떨어지는 것이라 할 수 있다.

#### 4. 결 론

CH<sub>4</sub> 가스로 환원된 CuFe<sub>2</sub>O<sub>4</sub>와 NiFe<sub>2</sub>O<sub>4</sub>를 이용하여 CO<sub>2</sub> 분해 반응을 행한 결과 다음과 같은 결론을 얻을 수 있었다.

1. 환원된 CuFe<sub>2</sub>O<sub>4</sub>는 환원된 NiFe<sub>2</sub>O<sub>4</sub> 보다 높은 반응성을 나타내면서 더 많은 양의 CO<sub>2</sub>를 분해하였다.
  2. 환원된 페라이트를 이용한 CO<sub>2</sub> 분해는 산소부족형 철산화물(FeO<sub>1-δ</sub>, 0 ≤ δ ≤ 1)의 산화에 의해 일어나며, 치환된 2가 양이온 금속의 종류에 따라 분해 반응속도와 반응 양에 차이를 나타내었다.
  3. CH<sub>4</sub> 가스로 페라이트를 환원할 경우 700°C 이하에서는 CO<sub>2</sub>와 H<sub>2</sub>O가 생성되지만, 700°C 이상에서는 여러 용도로 활용이 가능한 H<sub>2</sub>와 CO가 생성된다.
- CH<sub>4</sub>를 이용하여 페라이트를 환원한 후, CO<sub>2</sub>를 분해하는 공정은 H<sub>2</sub>와 CO와 같은 유용한 가스를 제조함은 물론 이를 이용하여 CO<sub>2</sub>도 분해할 수 있어 활용가치가 매우 높은 공정으로 평가된다.

#### REFERENCES

1. A. Sacco Jr. and R. C. Reid, "Morphological Changes in an Iron Catalyst and the Formation of Carbon Fibers in the C-H-O-Fe System," *Carbon*, **17** 459-64 (1979).
2. Y. Tamaura and M. Tabata, "Complete Reduction of Carbon Dioxide to Carbon Using Cation-excess Magnetite," *Nature*, **346** 255-56 (1990).

3. K. Nishizawa, T. Kodama, M. Tabata, T. Yoshida and Y. Tamaura, "Adsorption of CO<sub>2</sub> on Oxygen-deficient Magnetite: Adsorption Enthalpy and Adsorption Isotherm," *J. Chem. Soc. Faraday Trans.*, **88** 2771-76 (1992).
4. H. Kato, T. Kodama, M. Tsuji and Y. Tamaura, "Decomposition of Carbon Dioxide to Carbon by Hydrogen-Reduced Ni(II)-bearing Ferrite," *J. Mater. Sci.*, **29** 5689-92 (1994).
5. T. Kodama, M. Tabata, K. Tominaga, T. Yoshida and Y. Tamaura, "Decomposition of CO<sub>2</sub> and CO into Carbon with Active Wustite Prepared from Zn(II)-bearing Ferrite," *J. Mater. Sci.*, **28** 547-52 (1993).
6. M. Tabata, Y. Nishida, T. Kodama, K. Minori, T. Yoshida and Y. Tamaura, "CO<sub>2</sub> Decomposition with Oxygen-deficient Mn(II) Ferrite," *J. Mater. Sci.*, **28** 971-74 (1993).
7. H. C. Shin, J. H. Oh, J. C. Lee, S. H. Han and S. C. Choi, "Crystallization of Ferrite Powder Using Ultrasonic Wave," *J. Kor. Ceram. Soc.*, **37** [2] 181-85 (2000).
8. H. C. Shin, J. H. Oh, J. C. Lee, S. H. Han and S. C. Choi, "The Carbon Dioxide Decomposition Reaction with (Ni<sub>x</sub>Cu<sub>1-x</sub>)Fe<sub>2</sub>O<sub>4</sub> Solid Solution," *Phys. Stat. Sol. (a)*, **189** [3] 741-44 (2002).
9. K. Akanuma, K. Nishizawa, T. Kodama, M. Tabata, K. Minori, T. Yoshida, M. Tsuji and Y. Tamaura, "Carbon Dioxide Decomposition into Carbon with the Rhodium-bearing Magnetite Activated by H<sub>2</sub>-reduction," *J. Mater. Sci.*, **28** 860-64 (1993).
10. M. Tabata, H. Kato, T. Kodama, T. Yoshida, M. Tsuji and Y. Tamaura, "CO<sub>2</sub> Decomposition with Mangano-wustite," *J. Mater. Sci.*, **29** 999-1003 (1994).
11. M. Tsuji, T. Yamamoto, Y. Tamaura, T. Kodama and Y. Kitayama, "Catalytic Acceleration for CO<sub>2</sub> Decomposition into Carbon by Rh, Pt or Ce Impregnation onto Ni(II)-bearing Ferrite," *Applied Catalysis, A: General*, **142** [1] 31-45 (1996).
12. T. Kodama, Y. Wada, T. Yamamoto, M. Tsuji and Y. Tamaura, "CO<sub>2</sub> Decomposition to Carbon by Ultrafine Ni (II)-bearing Ferrite at 300°C," *Mater. Res. Bull.*, **30** [8] 1039-48 (1995).
13. A. Steninfeld and E. A. Fletcher, "Theoretical and Experimental Investigation of the Carbothermic Reduction of Fe<sub>2</sub>O<sub>3</sub> Using Solar Energy," *Energy*, **16** [7] 1011-19 (1991).
14. K. Mimori, T. Togawa, N. Hasegawa, M. Tsuji and Y. Tamaura, "A New Reversible Chemical System for Efficient Utilization of Carbonaceous Compounds," *Energy*, **19** [7] 771-78 (1994).
15. M. Tsuji, T. Sato, M. Tabata and Y. Tamaura, "Enhanced Conversion of CO<sub>2</sub> with a Mixed System of Metal Oxide and Carbon," *Energy*, **20** [9] 869-76 (1995).
16. A. Steinfeld, P. Kuhn and Y. Tamaura, "CH<sub>4</sub> Utilization and CO<sub>2</sub> Mitigation in the Metallurgical Industry via Solar Thermochemistry," *Energy Convers. Mgmt.*, **37** [6-8] 1327-32 (1996).
17. H. C. Shin, K. D. Jung, S. H. Han and S. C. Choi, "Decomposition of H<sub>2</sub>O with Ferrite Powders for Hydrogen Generation," *J. Kor. Ceram. Soc.*, **37** [1] 90-5 (2000).
18. M. Hansen and K. Anderko, Constitution of binary alloy; 2nd, McGraw-Hill Book Company Inc., New York, 1958.
19. H. C. Shin, S. C. Choi, K. D. Jung and S. H. Han, "Mechanism of M Ferrite (M=Cu and Ni) in the CO<sub>2</sub> Decomposition Reaction," *Chem. Mater.*, **13** [4] 1238-42 (2001).
20. N. P. Produkina, E. R. Shishchenko, O. S. Joo, D. Y. Kim and S. H. Han, "Carbon Nanotube RLC Circuits," *Adv. Mater.*, **12** [19] 1444-47 (2000).
21. M. S. Kim, W. J. Woo, H. S. Song, Y. S. Lim and J. C. Lee, "Characterization of Nanostructure and Electronic Properties of Catalytically Grown Carbon Nanofiber," *J. Kor. Ceram. Soc.*, **37** [4] 345-53 (2000).